

# تأثیر عملیات حرارتی بر رفتار تریبولوژیکی پوشش الکترولیس دولایه کامپوزیتی و نانو کریستالی Ni-P/Ni-B-BN

امین بایبوردی<sup>\*</sup>، محمد حسین بینا<sup>۱</sup>، کامران امینی<sup>۲</sup>، سیدابوالقاسم دهقان<sup>۴</sup>

۱- کارشناس ارشد، دانشکده مهندسی مواد، دانشگاه شیراز، شیراز، فارس، ایران

۲- دانشجوی دکتری، سازمان پژوهش‌های علمی و صنعتی ایران، دانشکده مواد پیشرفته و انرژی‌های نو، تهران، ایران

۳- استادیار، دانشکده مهندسی مواد، دانشگاه آزاد اسلامی، واحد شهر مجلسی، اصفهان، ایران

۴- استادیار، دانشکده مهندسی مواد، دانشگاه شیراز، شیراز، فارس، ایران

\*amin.baibordi@gmail.com

(تاریخ دریافت: ۱۳۹۰/۱۲/۰۵، تاریخ پذیرش: ۱۳۹۱/۰۲/۲۳)

## چکیده

در این تحقیق به بررسی تأثیر عملیات حرارتی بر سختی و مقاومت به سایش پوشش الکترولیس دولایه کامپوزیتی Ni-P/Ni-B-BN پرداخته شده است. به این منظور، ابتدا پوشش الکترولیس نیکل-فسفر با ضخامت ۱۵ میکرون و سپس پوشش الکترولیس Ni-B-BN با ضخامت ۱۰ میکرون بر روی سطح نمونه هایی از جنس فولاد Ck45 اعمال شد. نقش لایه الکترولیس نیکل-فسفر ایجاد شده در پوشش دولایه توسط آزمون پلاریزاسیون تافل بررسی شد. نمونه‌های پوشش داده شده تحت عملیات حرارتی به مدت یک ساعت در دماهای ۴۰۰ و ۵۰۰ درجه سانتی گراد قرار گرفتند. تأثیر عملیات حرارتی بر مرفولوژی، تغییرات ساختاری و رفتار سایشی پوشش‌ها با انجام آزمون‌های میکروسکوپ الکترونی روبشی، تفرق اشعه ایکس و نیز آزمایش سایش پین بر روی دیسک در دمای محیط مورد بررسی قرار گرفت. همچنین سختی پوشش‌های حاصل در دو حالت پیش و پس از عملیات حرارتی توسط دستگاه ریزسختی سنج ویکرز اندازه‌گیری و اثر دمای عملیات حرارتی بر سختی پوشش‌ها مورد ارزیابی قرار گرفت. آزمون پلاریزاسیون تافل نشان داد که حضور لایه الکترولیس نیکل-فسفر باعث بهبود مقاومت به خوردگی پوشش دولایه شده است. نتایج حاصل از SEM نشان داد که مورفولوژی پوشش ایجاد شده به صورت گل کلمی شکل است. آزمون پراش پرتو ایکس نشان دهنده کریستالیزاسیون پوشش و رسوب فاز سخت بورید نیکل ( $Ni_3B$ ) در زمینه نیکلی بود. نتایج آزمون سایش پین روی دیسک نشان داد که عملیات حرارتی در دمای ۴۰۰ درجه سانتی-گراد سبب کاهش ضریب اصطکاک شده است. هم‌چنین عملیات حرارتی در دمای مذکور باعث ایجاد ساختار نانو کریستالی شده و بنابراین سختی و مقاومت به سایش پوشش به دلیل تغییر ساختار از آمورف به کریستالی و ایجاد فاز سخت  $Ni_3B$  افزایش می‌یابد.

## واژه‌های کلیدی:

پوشش الکترولیس نیکل-بور، عملیات حرارتی، خوردگی، مقاومت به سایش، ضریب اصطکاک.

## ۱- مقدمه

فرایندهای رسوب فلز از محلول‌های آبی به خاطر سهولت عمل،

از میان روش‌های مختلف ایجاد پوشش‌های فلزی روی فلزات،

به زیرلايه صورت گرفت. پس از عملیات ماسه پاشی بر روی نمونه‌ها پوشش الکترولس دولایه کامپوزیتی نیکل-فسفر/نیکل-بور-نیترید بور داده شد. به منظور ایجاد پوشش الکترولس نیکل-فسفر بر روی نمونه‌ها از محلول تجاری الکترولس NIP 70A SLOTONIP ساخت شرکت اشلوتر<sup>۱</sup> آلمان استفاده شد. pH این حمام برابر ۴/۶ و دمای پوشش دهی برابر ۸۵ درجه سانتی گراد در نظر گرفته شد. جهت ایجاد پوشش کامپوزیتی نیکل-بور-نیترید بور، ابتدا حمامی (جدول ۱) شامل ۵ گرم بر لیتر از پودر نیترید بور (BN)<sup>۲</sup> ساخته شده و این حمام به مدت ۲ ساعت داخل حمام التراسونیک قرار گرفت تا این ذرات داخل حمام پخش و یکنواخت شوند. جدول (۲) مشخصات پودر به کار رفته در این تحقیق را نشان می‌دهد. pH این حمام برابر ۱۲/۵ و دمای پوشش دهی برابر ۸۵ درجه سانتی گراد در نظر گرفته شد. پس از یکنواخت شدن ذرات، عملیات پوشش دهی آغاز شد.

جدول(۱): ترکیب شیمیایی حمام الکترولس نیکل-بور

غلهشت (گرم بر لیتر)	نام ماده
۲۰	کلرید نیکل
۱	بورهیدرید سدیم
۵۶	اتیلن دی آمین
۴۰	هیدروکسید سدیم
۰/۰۱	نیترید سرب (pb <sup>2+</sup> )

جدول(۲): مشخصات پودر BN به کار رفته در این تحقیق

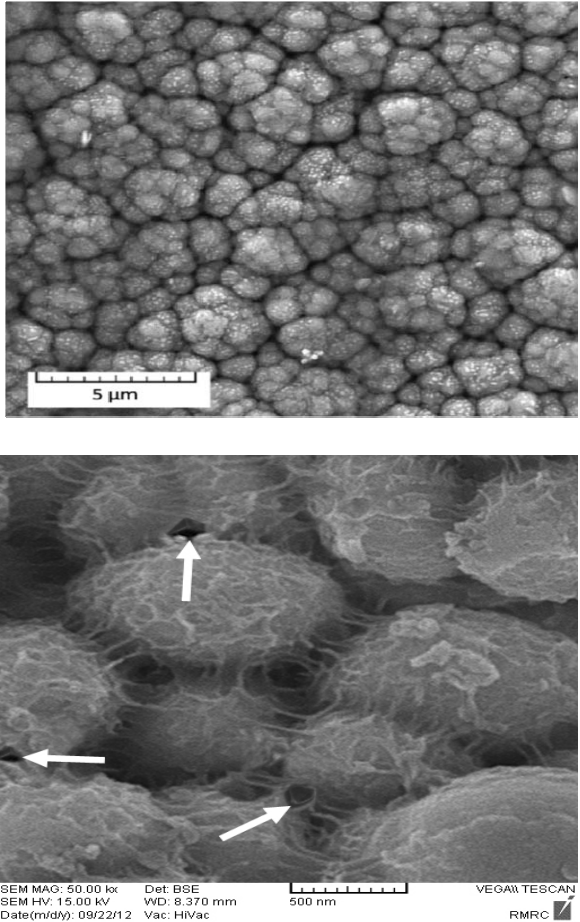
BN	فرمول شیمیایی
هگزاگونال	ساختار کریستالی
۲۹۷۳ °C	نقطه ذوب

به منظور بررسی نقش لایه الکترولس نیکل-فسفر در پوشش دولایه Ni-P/Ni-B-BN مطالعات خوردگی روی این پوشش انجام گرفت و با پوشش‌های تک لایه Ni-P و Ni-B-BN (با ضخامت مشابه ۲۵ میکرون) مقایسه شد. مطالعات مربوط به مقاومت خوردگی پوشش‌ها توسط آزمون پلاریزاسیون تألف در

قابلیت کنترل و مزایای اقتصادی بسیار حائز اهمیت می‌باشد. در پوشش دهی الکترولس، از منبع جریان خارجی استفاده نشده و رسوب نتیجه احیای یون فلزی به اتم فلزی در حضور عوامل احیا کننده است. به دلیل مزایایی چون ایجاد لایه یکنواخت، عدم نیاز به تجهیزات الکتریکی جهت آبکاری و عدم محدودیت در حجم سیستم، پوشش دهی الکترولس اهمیت خاص صنعتی پیدا کرده است [۱]. امروزه آبکاری الکترولس نیکل-فسفر کاربردهای متنوعی را در صنایع مختلف از جمله صنایع الکتریکی و الکترونیک، نفت و گاز و هوا و فضای را به خود اختصاص داده است [۲]. به تازگی، حمام آبکاری الکترولس نیکل با عامل کاهنده بورهیدرید بسیار مورد توجه قرار گرفته است. خواص پوشش الکترولس نیکل-بور اغلب مشابه به پوشش‌های الکترولس نیکل-فسفر است. مزیت اصلی پوشش الکترولس نیکل-بور، برتری در سختی و مقاومت به سایش است [۳]. حضور ذرات فاز ثانویه در این پوشش‌ها باعث بهبود برخی از خواص پوشش از جمله سختی و مقاومت به سایش می‌شود [۴-۵] در این بین ذرات BN، به دلیل خاصیت روانکاری مناسب، عدم قابلیت حل شوندگی در اکثر حلال‌ها، پایداری در دماهای نسبتاً بالا و ضریب اصطکاک پایین به عنوان روانکار در مصارف تریبولوژیکی به پوشش اضافه می‌گردد [۴-۷]. انجام عملیات حرارتی در پوشش‌های الکترولس نیکل موجب نانو کریستاله شدن پوشش و بوجود آمدن فازهای سخت در آن گشته و باعث افزایش سختی و مقاومت به سایش این پوشش‌ها می‌گردد [۵]. هدف از این تحقیق ایجاد پوشش دولایه کامپوزیتی الکترولس Ni-P/Ni-B-BN و بررسی تأثیر عملیات حرارتی بر روی رفتار تریبولوژیکی پوشش ایجاد شده می‌باشد.

## ۲- مواد و روش تحقیق

نمونه‌های دیسکی شکل با ضخامت ۵ mm و قطر ۵۰ mm از جنس فولاد Ck45 تهیه و توسط ذرات سیلیس با اندازه متوسط ۱۰۰ میکرون ماسه پاشی شدند. عملیات ماسه پاشی نمونه‌ها قبل از اجرای مرحله پوشش دهی، به منظور افزایش چسبندگی پوشش



شکل(۱): (الف) تصویر گرفته شده توسط میکروسکوپ الکترونی روبشی از سطح پوشش Ni-P/Ni-B-BN و (ب) بزرگنمایی بالاتر

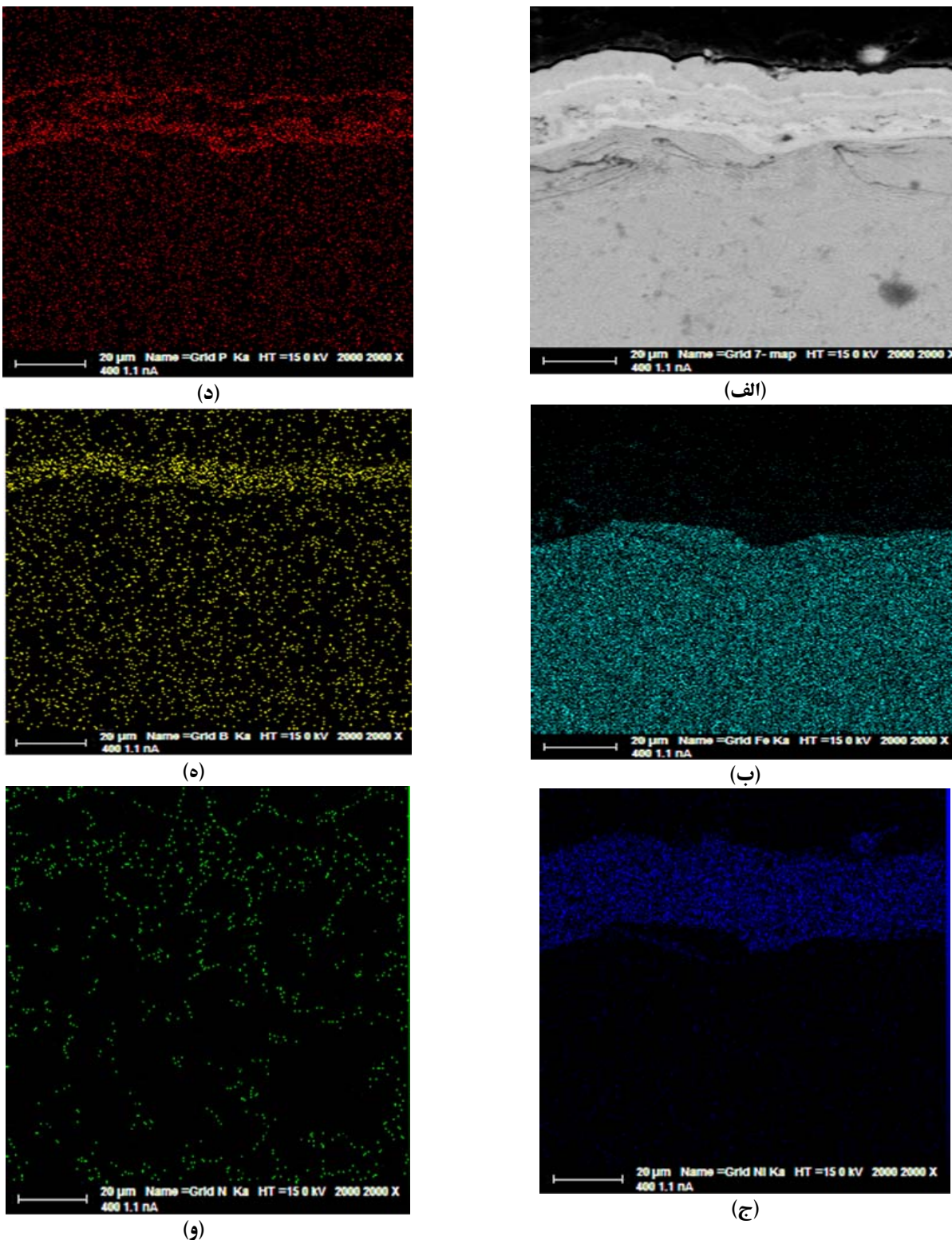
### ۲-۳- بررسی سطح مقطع پوشش

شکل (۲) سطح مقطع پوشش دولايه کامپوزیتی را به همراه نقشه آنالیز عنصری مربوط به آنها را نشان می دهد. همان طوری که در شکل (۲-الف) مشخص است پوشش Ni-P/Ni-B-BN که روی زیر لایه رسوب کرده است بسیار یکنواخت بوده و اتصال خوبی به زیر لایه نشان می دهد. ضخامت لایه Ni-P در پوشش دولايه تقریبا  $15\mu\text{m}$  و لایه Ni-B تقریبا  $10\mu\text{m}$  است. آنالیز توزیع عناصر در شکل های (۲-ب) تا (۲-و) نشان دهنده دولایه بودن پوشش و حضور ذرات BN در پوشش کامپوزیتی است.

محلول  $3/5\% \text{NaCl}$  توسط دستگاه PARSTAT 2273 انجام گرفت. نمونه ها با سطح  $1\text{cm}^2$  در تماس با الکتروولیت قرار گرفتند. الکترود پلاتین به عنوان الکترود شاهد و الکترود کالومل اشباع (SCE) به عنوان الکترود مرجع به کار گرفته شد. با استفاده از روش برون یابی تافل پتانسیل و دانسیته جریان خوردگی از منحنی های تافل استخراج شد. به منظور بررسی تأثیر عملیات حرارتی روی پوشش دولايه کامپوزیتی، برخی نمونه های پوشش داده شده، تحت عملیات حرارتی در دماهای  $300$ ،  $400$  و  $500$  درجه سانتی گراد به مدت یک ساعت در اتمسفر خشی قرار گرفتند. در نهایت جهت بررسی مورفولوژی سطوح نمونه ها از میکروسکوپ الکترونی روبشی (SEM) با امکانات EDS و برای تحلیل فازی در سطح نمونه ها نیز از دستگاه پراش پرتو ایکس (XRD) استفاده شد. سختی نمونه ها نیز در مقیاس میکرو به روش ویکرز با وزن اولیه  $100$  گرم اندازه گیری شد. به منظور افزایش دقت و اعتبار نتایج آزمایش میکروسکوپی، این آزمون  $5$  مرتبه بر روی نمونه های مشابه تکرار و میانگین نتایج مورد استفاده واقع شد. برای ارزیابی و مقایسه رفتار تریبولوژی نمونه ها، از ماشین سایش پین بر روی دیسک استفاده گردید. در همه آزمایش های سایش از پین فولادی  $52100$  با سختی حدود  $65\text{RC}$  و قطر  $6\text{mm}$  به عنوان ماده ساینده کمک گرفته شد. آزمایش سایش در اتمسفر هوا تحت سرعت لغزش  $1\text{m.s}^{-1}$ ، تحت نیروی  $5$  نیوتون و مسافت لغزش حداقل  $1000$  متر انجام گرفت.

### ۳- نتایج و بحث

۳-۱- بررسی مورفولوژی پوشش  
مورفولوژی پوشش الکتروولس Ni-P/Ni-B-BN ایجاد شده بر روی زیر لایه فولادی در شکل (۱) آورده شده است. این شکل نشان می دهد که مورفولوژی پوشش به صورت گل کلمی است که برای پوشش های الکتروولس نیکل-بور کاملاً متدائل است [۶]. شکل (۱-ب) پوشش BN همراه با ذرات BN را نشان می دهد. ذرات BN توانسته اند به خوبی در زمینه Ni-B جای بگیرند و زمینه همچنان از پیوستگی مناسبی برخوردار است.

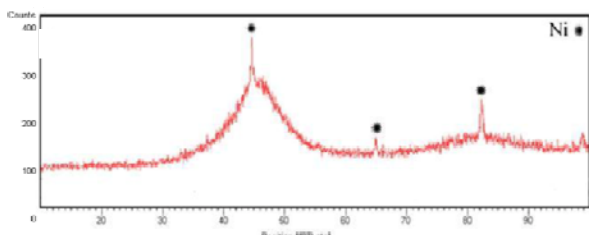


شکل(۲): تصاویر تهیه شده توسط میکروسکوپ الکترونی رویشی به همراه آنالیز عنصری: (الف) سطح مقطع پوشش الکتروولس دو لایه Ni-P/Ni-B-BN، (ب) حضور عنصر آهن، (ج) نیکل، (د) فسفر، (ه) بور و (و) نیتروژن

جدول (۳): پتانسیل و دانسیته جریان خوردگی حاصل شده از منحنی های پلاریزاسیون تافل

$i_{corr}$ ( $\mu A/cm^2$ )	$E_{corr}$ (mV)	پوشش
۱.۶	-۳۰۰	Ni-P
۴.۵	-۴۳۰	Ni-P/Ni-B-BN
۵۰	-۵۷۰	Ni-B-BN

۴-۳- تأثیر عملیات حرارتی بر ساختار پوشش شکل (۴) الگوی پراش پرتو ایکس پوشش الکتروولس قبل از عملیات حرارتی را نشان می دهد. این شکل نشان می دهد که پوشش های ایجاد شده دارای مخلوطی از ریز ساختار آمورف و کریستالی است [۶].

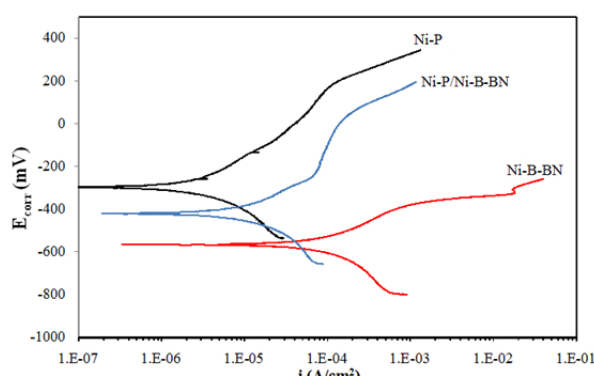


شکل (۴): الگوی پراش پرتو ایکس از پوشش دولایه کامپوزیتی قبل از عملیات حرارتی

شکل (۵)، الگوی XRD سطح پوشش عملیات حرارتی شده را نشان می دهد. این شکل بیانگر تغییر کامل ساختار نسبت به حالت خام می باشد، بدین معنی که به جای اثرات آمورف، پیک های واضحی از دو فاز نیکل کریستالی با شبکه FCC و بورید نیکل  $Ni_3B$  با شبکه کریستالی اورتو میبیک در نمودارهای پراش مشاهد گردید (جدول (۴)).

تحقیقات نشان می دهد که حداقل دمای لازم برای وقوع استحاله آمورف به کریستالی در پوشش نیکل-بور حدود  $300-350^\circ C$  بوده و افزایش دمای عملیات حرارتی منجر به کریستاله شدن بیشتر پوشش می گردد [۵-۸].

۳-۳- نقش لایه الکتروولس نیکل-فسفر در پوشش دولایه شکل (۳) منحنی های پلاریزاسیون تافل پوشش دولایه Ni-P/Ni-B-BN و پوشش های تک لایه Ni-P و Ni-B-BN را نشان می دهد. با استفاده از روش برون یابی تافل، پتانسیل و نرخ خوردگی برای هر پوشش محاسبه و در جدول (۳) ارائه شده است. جدول (۳) نشان می دهد که پوشش الکتروولس Ni-P مثبت ترین پتانسیل خوردگی ( $E_{corr}$ ) و پایین ترین دانسیته جریان خوردگی ( $i_{corr}$ ) را در بین منحنی های مورد مطالعه دارد. همچنین پوشش دولایه Ni-P/Ni-B-BN پتانسیل خوردگی مثبت تر و کاهش شدید دانسیته جریان خوردگی در مقایسه با پوشش تک لایه Ni-B-BN از خود نشان می دهد. تفاوت بین پتانسیل خوردگی پوشش Ni-P (لایه بیرونی) و Ni-B-BN (لایه درونی) در حدود  $270$  میلی ولت است. بنابراین لایه الکتروولس نیکل-فسفر در پوشش های دوپلکس می تواند به عنوان لایه محافظه خوردگی عمل کند. زمانیکه در لایه خارجی پوشش دولایه (لایه Ni-B-BN) خوردگی رخ می دهد، برخی از حفرات ایجاد شده به سمت نیروی جاذبه (به صورت عمودی) گسترش می یابند و به لایه درونی Ni-P می رسند. به علت اینکه لایه خارجی Ni-B-BN پتانسیل خوردگی منفی تر و دانسیته جریان خوردگی بالاتری نسبت به لایه Ni-P دارد، راحت تر خوردگی می شود و به عنوان یک آند فدا شونده برای لایه Ni-P عمل می کند. این امر باعث افزایش طول عمر لایه Ni-P و به تبع آن زیرلایه فولادی می گردد. در کل، لایه نیکل-فسفر، باعث افزایش مقاومت به خوردگی پوشش های دولایه می گردد.



شکل (۳): منحنی های پلاریزاسیون تافل پوشش های ایجاد شده

اندازه دانه کریستال‌ها با استفاده از روش شر [۱۰] و به کمک نرم افزار X'Pert High Score Version 1.0d اندازگیری شد. نتایج نشان می‌دهد که عملیات حرارتی در دمای ۴۰۰ درجه سانتی‌گراد باعث نانو کریستاله شدن پوشش شده است و پوشش حاصله پس از عملیات حرارتی دارای اندازه متوسط دانه ۲۶ نانومتر است.

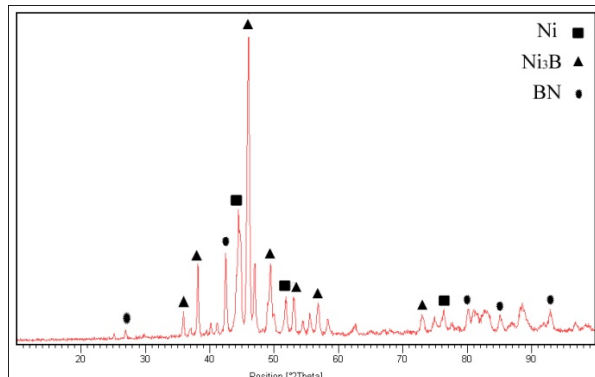
**۳-۵- تأثیر دمای عملیات حرارتی بر سختی پوشش**  
دمای عملیات حرارتی تأثیر بسیار زیادی بر سختی پوشش‌ها دارد. همان‌طور که مشاهد می‌شود سختی پوشش در دمای ۳۰۰°C به دلیل شروع کریستالیزاسیون و حضور هم‌زمان ساختار آمورف و کریستالی و در دمای ۵۰۰°C به دلیل افزایش دما و رشد بیش از حد دانه‌های  $\text{Ni}_3\text{B}$  و تشکیل فازهای ناخواسته ( $\text{Ni}_4\text{B}_3$ ) نسبت به سختی در دمای ۴۰۰°C کاهش می‌یابد [۵-۶].

پس از اینکه پوشش دولایه کامپوزیتی Ni-P/Ni-B-BN در دمای ۴۰۰ درجه سانتی‌گراد به مدت ۱ ساعت عملیات حرارتی شد، سختی آن افزایش یافت.

مطالعات نشان می‌دهد که این افزایش سختی مربوط به رسوب بیشتر فاز پایدار بین فلزی  $\text{Ni}_3\text{B}$  در طی کریستالیزاسیون فاز آمورف می‌باشد [۵]. گزارش شده است که فاز  $\text{Ni}_3\text{B}$  استحکام و مدول برخی بالایی دارد که باعث اثر گذاری روی سختی این پوشش‌ها می‌شود [۵]. این مشاهدات با نتایج آنالیز XRD تطابق خوبی دارد.

سختی پوشش دولایه کامپوزیتی Ni-P/Ni-B-BN قبل از عملیات حرارتی ۷۰۲ ویکرز و بعد از عملیات حرارتی ۱۴۴۹ ویکرز بدست آمد.

در جدول (۵) تأثیر دمای عملیات حرارتی روی سختی پوشش دولایه کامپوزیتی Ni-P/Ni-B-BN بررسی شده است و همان‌طور که مشاهد می‌شود بالاترین سختی پوشش مربوط به دمای ۴۰۰°C می‌باشد و این نتایج به خوبی با نتایج حاصل از آزمون XRD تطابق دارد.

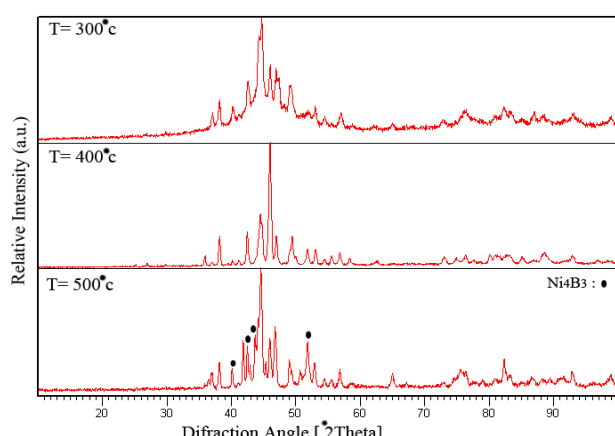


شکل (۵): الگوی پراش پرتو ایکس از پوشش Ni-P/Ni-B-BN بعد از عملیات حرارتی در دمای ۴۰۰°C به مدت ۱ ساعت

جدول (۴): خصوصیات مربوط به پیک‌ها

Ni	$\text{Ni}_3\text{B}$	BN	نوع فاز
مکعبی	اورتورمیک	هگزاگونال	نوع شبکه
(111)	(031)	(100)	پارامتر شبکه
۴۴/۴۹	۴۶	۲۱/۷۵	۲θ(درجه)

شکل (۶) تأثیر دمای عملیات حرارتی بر میزان کریستاله شدن پوشش را نشان می‌دهد. همان‌طور که مشاهد می‌شود افزایش دما، منجر به افزایش شدت پیک‌های  $\text{Ni}_3\text{B}$  و  $\text{Ni}$  می‌شود. بهترین دمای کریستاله شدن دمای ۴۰۰°C می‌باشد و افزایش دما (دما ۵۰۰°C)، باعث رشد دانه‌ها و حضور فازهای ناخواسته ( $\text{Ni}_4\text{B}_3$ ) در پوشش می‌شود.



شکل (۶): تأثیر دمای عملیات حرارتی بر الگوی نفرق اشعه ایکس پوشش Ni-P/Ni-B-BN

شکل (۸) تصاویر تهیه شده توسط میکروسکوپ الکترونی رویشی از سطوح سایش یافته پوشش Ni-P/Ni-B-BN قبل و بعد از عملیات حرارتی در دمای  $400^{\circ}\text{C}$  درجه سانتی گراد را نشان می‌دهد.

همان‌طوری که در شکل (۸-الف) مشاهده می‌شود سطح سایش یافته نمونه قبل از عملیات حرارتی به دلیل سختی پایین پوشش و عدم تشکیل فاز کریستالی موجب تشدید تغییر شکل پلاستیک در پوشش می‌گردد که نتیجه این تغییر شکل پلاستیک و ایجاد اتصالات موضعی در نواحی تماس و از هم گسیختگی این اتصالات در ادامه لغزش است.

بنابراین، مکانیزم غالب در سایش این نمونه، مکانیزم سایش چسبان می‌باشد [۹].

شکل (۸-ب) نشان می‌دهد که عملیات حرارتی در دمای  $400^{\circ}\text{C}$  درجه سانتی گراد به مدت ۱ ساعت باعث تبدیل ساختار آمورف به نیکل کریستالی و فسفید بورشده و سطح دچار سایش شده، کاهش یافته است.

تصویر SEM این نمونه، نشان داد که، پوشش دولایه کامپوزیتی Ni-P/Ni-B-BN حتی پس از مسافت لغزش  $1000$  متر، بر روی سطح این نمونه باقی مانده است.

**۷-۳- تأثیر عملیات حرارتی بر ضریب اصطکاک پوشش**

شکل (۹-الف) نشان می‌دهد که پوشش دولایه کامپوزیتی Ni-P/Ni-B-BN به خاطر نوع ساختار کریستالی BN که به صورت لا یه لا یه بوده و شیوه گرافیت عمل می‌کند، ضریب اصطکاک کمی دارد [۱۱]. ولی با افزایش مسافت سایش، ذرات BN از سطح جدا شده و این امر موجب افزایش ضریب اصطکاک می‌شود.

شکل (۹-ب) نشان می‌دهد که عملیات حرارتی در دمای  $400^{\circ}\text{C}$  درجه سانتی گراد علاوه بر کاهش سطح سایش منجر به بهبود ضریب اصطکاک نیز می‌شود.

جدول (۵): تأثیر دمای عملیات حرارتی بر سختی پوشش دولایه کامپوزیتی

میانگین سختی (ویکرز)	دماهی عملیات حرارتی (C)	بدون عملیات حرارتی	
		۷۰۲	۹۴۱
		۳۰۰°C	۴۰۰°C
		۴۰۰°C	۵۰۰°C
			۱۴۴۹
			۱۰۲۲

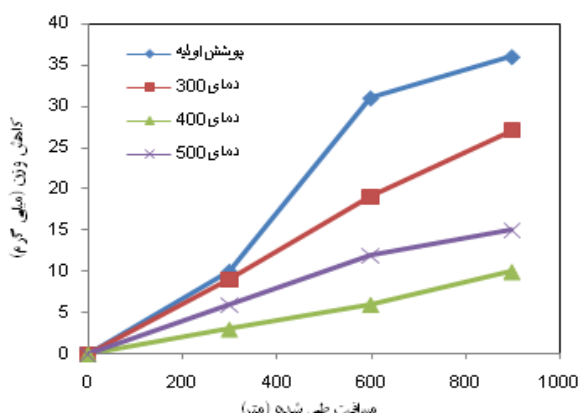
افزایش سختی در پوشش Ni-P/Ni-B-BN به دلیل حضور BN به عنوان فاز ثانویه در زمینه پوشش است که با ایجاد پوشش کامپوزیتی، سختی پوشش نیز افزایش یافته است.

**۳-۶- تأثیر عملیات حرارتی بر رفتار سایشی پوشش**

با توجه به نتایج آزمون بارپذیری، آزمون های سایش تحت نیروی  $5\text{ نیوتون}$  انجام گردید. منحنی های کاهش وزن نمونه ها بر حسب مسافت لغزش در شرایط دمای محیط در شکل (۷) نشان داده شده است.

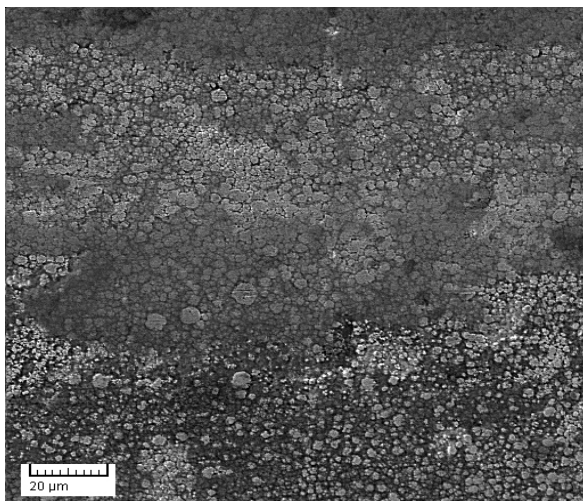
همان‌طوریکه مشاهده می‌شود نمونه هایی که در دمای  $400^{\circ}\text{C}$  عملیات حرارتی شده‌اند کمترین کاهش وزن و یشترين کاهش وزن مربوط به نمونه های بدون عملیات حرارتی است.

این نتیجه گیری مربوط به رسوب فاز پایدار بین فلزی B طی کریستالیزاسیون فاز آمورف می‌باشد که با توجه به نتایج آزمون ریزسختی و XRD نیز قابل اثبات است [۹].



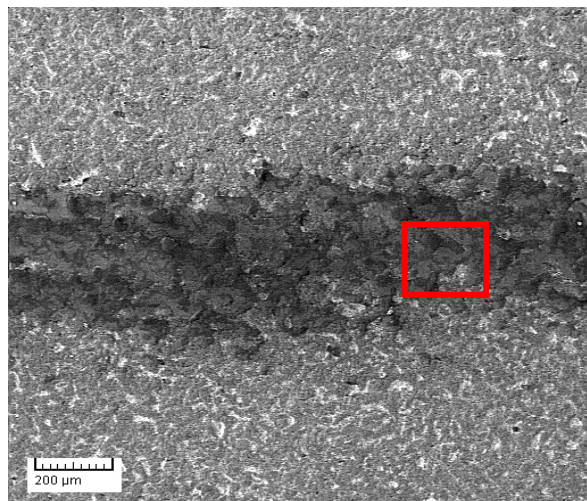
شکل (۷): نمودارهای کاهش وزن بر حسب مسافت طی شده پوشش

Ni-P/Ni-B-BN

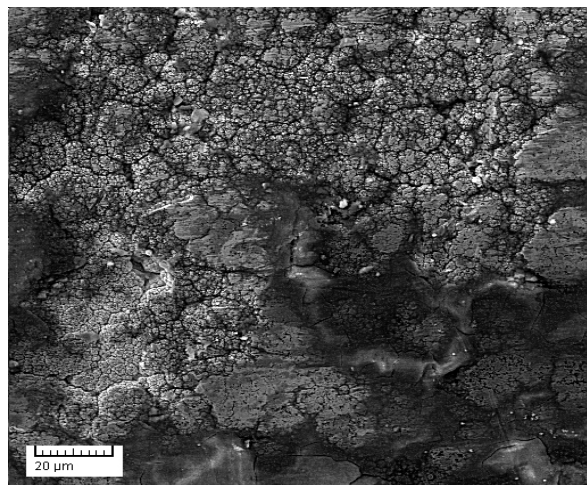


(د)

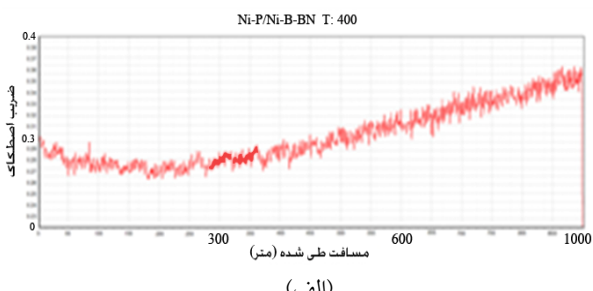
شکل (۸): تصاویر گرفته شده توسط میکروسکوپ الکترونی روبش یاز سطوح سایش یافته پوشش Ni-P/Ni-B-BN، الف و ب) قبل از عملیات حرارتی، ج و د) بعد از عملیات حرارتی در دمای  $400^{\circ}\text{C}$



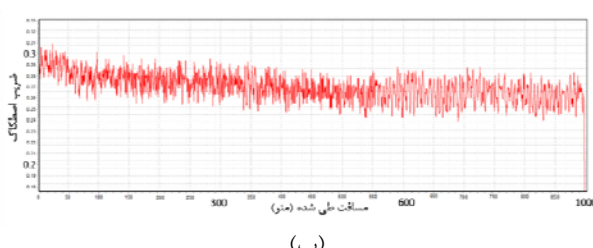
(الف)



(ب)

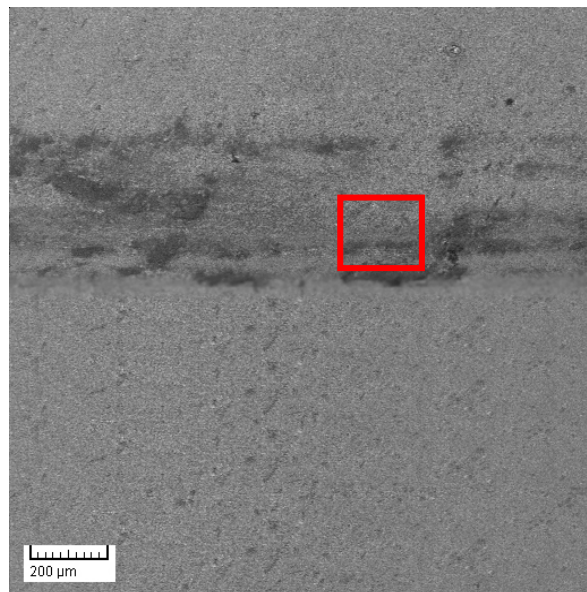


(الف)



(ب)

شکل (۹): مقایسه تغییرات ضریب اصطکاک بر حسب مسافت طی شده در دمای محیط برای نمونه‌های Ni-P/Ni-B-BN (الف) پوشش اولیه، ب) عملیات حرارتی شده در دمای  $400^{\circ}\text{C}$



(ج)

#### ۴- نتیجه گیری

- ۱- پوشش الکتروولس دولایه Ni-P/Ni-B-BN به صورت نیمه آمورف با ساختاری گل کلمی شکل است.
- ۲- پوشش الکتروولس نیکل-فسفر، مقاومت به خوردگی پوشش

- [5] C.K. Chen, H.M. Feng, H.C. Lin, M.H. Hon, "The Effect of Heat Treatment on The Microstructure of Electroless Ni-B Coatings", *Thin Solid Films*, Vol. 416, pp. 31-37, 2002.
- [6] Z. Abdel Hamid, H.B. Hassan, " Influence of Deposition Temperature and Heat Treatment on the Performance Ofelectroless Ni-B Films", *Surface & Coatings Technology*, Vol. 205, pp. 2348-2354, 2010.
- [7] O.A. Leo'n, M.H. Staia, H.E. Hintermann, "High Temperature Wear of an Electroless Ni-P-BN (h) Composite Coating", *Surface and Coatings Technology*, Vol. 163, pp. 578-584, 2003.
- [8] ASM International Handbook: Alloy Phase Diagrams, 9ed, ASM International, Vol. 3, pp.1216&432, 1994.
- [9] T. Biestek, "Electroless Nickel Coatings: Testing of Corrosion and Wear Resistance", *Galvanotechnic*, Vol. 88, No. 5, pp.1488-1494, 1997.

[10] ا. منشی و س. سلطان عطار، به کارگیری روشی نوین در اندازگیری نانو ذرات با استفاده از رابطه شرر و پراش پرتو ایکس، *فصلنامه علمی-پژوهشی مهندسی مواد* مجلسی، شماره ۱۰، ص. ۴۳-۵۹، پانزدهم، ۱۳۸۷.

- [11] D. Baudrand, "ASM Metals Handbook, Surface Engineering", Vol. 5, pp.1006, 1994.

دولایه Ni-P/Ni-B-BN را افزایش داد.

۳- عملیات حرارتی در دمای ۴۰۰ درجه سانتی گراد، بالاترین میزان سختی (۱۴۴۹ ویکرز)، را در پوشش الکترولیس دولایه کامپوزیتی ایجاد کرد.

۴- عملیات حرارتی در دمای ۴۰۰ درجه سانتی گراد سبب کاهش ضریب اصطکاک پوشش الکترولیس دولایه Ni-P/Ni-B-BN شد.

۵- عملیات حرارتی در دمای ۴۰۰ °C باعث ایجاد ساختار نانوکریستالی شده و بنابراین سختی و مقاومت به سایش پوشش به دلیل تغییر ساختار از آمورف به کریستالی و ایجاد فاز سخت  $Ni_3B$  افزایش می‌یابد.

## ۵- تشکر و قدردانی

بدینوسیله از دانشگاه آزاد اسلامی واحد شهر مجلسی و دانشگاه شیراز تشکر و قدردانی می‌گردد.

## ۶- مراجع

- [1] R.Tenno, "Electroless Nickel Plating", Finishing Publications LTD, Stevenage, Hertfordshire, England, 1991.
- [2] W. Riedel, "Electroless Nickel Plating", ASM International, Metals Park, Ohio, USA, 1991.
- [3] R. N. Duncan, T. Arney, "Operation and Use of Sodium-borohydride-Reducedelectroless Nickel, Plating and Surface Finishing", Vol. 71, 1984.
- [4] Y. Wu, B. Shen, L. Liu, W. Hu, "The Tribological Behaviour of Electroless Ni-Gr-SiC Composite", *Wear*, Vol. 261, 2006.

## ۷- پی نوشت

- 1- Schloetter  
2- Boron Nitride